

УДК 519.6:536

**В. К. Толстых****ЭФФЕКТИВНЫЙ МЕТОД ОПТИМИЗАЦИИ ФИЗИЧЕСКИХ ПРОЦЕССОВ**

*Предлагаются новые экстремальные алгоритмы, обеспечивающие равномерную сходимость в пространстве искомых функций к оптимали  $u_*$ . Особенность заключается в аналитическом определении градиента целевого функционала задачи оптимизации и в оригинальном регулировании направления спуска относительно бесконечного градиента.*

Задачи оптимизации физических процессов – оптимальное управление ими, идентификация их математических моделей, улучшение геометрических характеристик процессов – встречаются очень часто. Наиболее общими подходами для их решения являются прямые экстремальные алгоритмы как в бесконечномерных пространствах, так и в конечномерных, полученных после конечно-разностных преобразований дифференциальных уравнений или после разложения оптимизируемых параметров по базисным функциям. В отличие от традиционного принципа максимума, динамического программирования и других методов оптимального управления, которые применимы далеко не ко всяким уравнениям в частных производных [1], в прямом подходе решение ищется на основе непосредственной минимизации цели  $J(u)$ .

Для прямой оптимизации распределенных и нестационарных процессов обычно используют градиентные алгоритмы [2–4]

$$u^{k+1}(\tau) = u^k(\tau) + b^k p(u^k; \tau), \quad b^k > 0, \quad k = 0, 1, 2, \dots, \quad (1)$$

где  $u^k(\tau)$  – искомый параметр-функция на итерации  $k$ ;  $p(u^k; \tau)$  – антиградиент или сопряженные, градиенты целевого функционала  $J(u)$ ;  $b^k$  – шаг метода. Реализация алгоритма (1), особенно в процессах теплофизики, сталкивается с принципиальными трудностями, связанными с существенной нелинейностью процессов, в частности, процессов переноса тепла. Конечные изменения теплофизических параметров могут приводить к бесконечно малым изменениям в  $\nabla J$ . К тому же отсутствуют обоснования сходимости бесконечномерных алгоритмов типа (1) за конечное число итераций даже для квадратичных  $J$ . Поэтому (1) нуждается в модернизации.

В качестве примера рассмотрим одномерный процесс теплопереноса, описываемый параболическим уравнением в области  $(t, x) \in [t_a, t_b] \times [x_0, x_1]$

$$c_p \frac{\partial T(t, x)}{\partial t} - \lambda \frac{\partial^2 T(t, x)}{\partial x^2} = 0, \quad \lambda \frac{\partial T}{\partial x} \Big|_{x_0} = q, \quad \lambda \frac{\partial T}{\partial x} \Big|_{x_1} = u, \quad T \Big|_{t_a} = T_a. \quad (2)$$

Необходимо найти на границе  $x_1$  поток тепла  $u(t)$  сводящий функционал к минимуму

$$J(u) = \int_{t_a}^{t_b} (T - T_*)^2 \Big|_{x_0} dt \rightarrow \min. \quad (3)$$

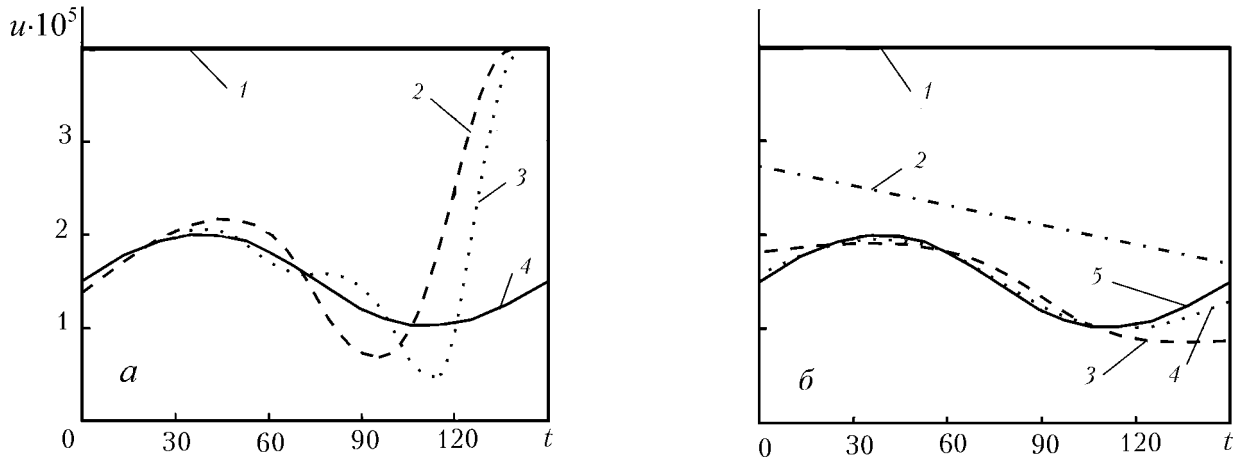
Применяя прямой подход [3], определим градиент

$$\nabla J(u; t) = -f(t, x), \quad (t, x) \in (t_a, t_b) \times x_1.$$

где  $f(t, x)$  – решение сопряженной задачи

$$c_p \frac{\partial f}{\partial t} + \lambda \frac{\partial^2 f}{\partial x^2} = 0, \quad \lambda \frac{\partial f}{\partial x} \Big|_{x_0} = 2(T - T_*), \quad \lambda \frac{\partial f}{\partial x} \Big|_{x_1} = 0, \quad f \Big|_{t_b} = 0.$$

Рисунок, а иллюстрирует неудачную попытку решения задачи (2), (3) бесконечномерным алгоритмом (1) с направлением спуска  $P$ , выбранным по методу сопряженных градиентов Полака–Рибьера. Приблизительно равномерное по времени отклонение потока тепла  $u^0(t)$  от оптимального  $u_*(t)$  дает существенно неравномерное по  $t$  (в частности – на 7 порядков) значение градиента и, как следствие, неравномерную сходимость к  $u_*$ .



Оптимизация теплового потока: *а* – метод сопряженных градиентов и L-BFGS (1 –  $u^0$ ; 2 –  $u^{10}$ ; 3 –  $u^{37}$ ; 4 –  $u_*$ ); *б* – метод (4) на основе сопряженных градиентов (1 –  $u^0$ ; 2 –  $\varphi$ ; 3 –  $u^{20}$ ; 4 –  $u^{50}$ ; 5 –  $u^{75} = u_*$ ).  $u$ , Дж/(м<sup>2</sup>·с);  $t$ , с

Такая же "неудачная" кривая была получена при разложении функции  $u(t) = \sum_{i=1}^{n-1} u_i B_i(t)$  через B-сплайны нулевого порядка (кусочно-постоянные функции) с носителями, равными шагу  $\Delta t = (t_b - t_a)/n$  аналогично [5]. Здесь конечномерное управление  $u \in R^{n-1}$  ( $n = 100$ ), отыскивалось квазиньютоновским методом с экономной памятью L-BFGS [6, 7], где обратная матрица Гессе представлялась пятью парами векторов из  $R^{n-1}$ .

Заменим алгоритм (1) в задаче (2), (3) следующим:

$$u^{k+1}(t) = u^k(t) - b^k \alpha^k(t) p(u^k; t), \quad b^k > 0, \quad k = 0, 1, 2, \dots, \quad (4)$$

где функция  $\alpha(t)$  регулирует сходимость  $u^k \rightarrow u_*$  согласно необходимому условию оптимальности [3] в форме

$$\nabla J(u^k; t) \rightarrow 0 \quad (5)$$

равномерно по  $t$ , при  $u^k \rightarrow u_*$ .

Алгоритм (4) с реализацией условия (5) позволяет решать бесконечномерные задачи оптимизации за конечное число итераций без преобразований управлений к конечномерным векторам, как это часто делается [2, 4, 5].

Проблемы практической реализации метода (4) заключаются в выборе функций  $\alpha^k(t)$  для удовлетворения условия (5). Здесь мы рассмотрим один из способов приблизительной реализации (5) на начальных итерациях.

Введем понятие шаблонных приближений. Пусть первое приближение  $u^1(t)$  является некоторой заранее известной функцией  $\varphi(t)$  (шаблонная функция), градиент которой  $\nabla J(\varphi; t)$  удовлетворяет условию (5) для  $k = 1$  (т. е. равномерно убывает после первой итерации). При этом из (4) можем найти

$$\alpha^0(t) = \left| \frac{\varphi(t) - u^0(t)}{\nabla J(u^0; t)} \right|, \quad \nabla J(u^0; t) \neq 0 \quad \forall t, \quad t \in (t_a, t_b).$$

На следующих итерациях параметр  $\alpha(t)$  не меняется. В данном методе от исследователя потребуются сделать несколько пробных первых итераций для подбора подходящей шаблонной функции  $\varphi(t)$ , удовлетворяющей (5).

На рисунке, *б* показано решение задачи (2) и (3) с принципиально новым результатом равномерной сходимости к  $u_*(t)$ . Для реализации (5) было выбрано  $\varphi = (0.8 + 0.0033t)u^0$ .

В таблице приведены характеристики сходимости всех четырех исследуемых алгоритмов. Везде для поиска шага  $b^k$  был использован наиболее эффективный в настоящее время алгоритм одномерной минимизации, основанный на условии Вульфа с кубической интерполяцией [6]. Сходимость исследуемых алгоритмов считалась законченной при относительном изменении функционала и управления менее  $10^{-10}$ . В таблице последняя итерация каждого метода соответствует такой точности.

Из результатов расчетов видно, что новые методы на основе алгоритма (4) минимизируют функционал  $J$  на 5–6 порядков лучше традиционных методов. Они также позволяют подойти к оптимальному решению  $u_*$  на 3 порядка ближе. Необходимо заметить, что традиционные методы существенно уменьшают функционал  $J$  (в расчетах на 5 порядков), однако при этом они не сходятся к точному решению. Это означает,

что если алгоритмы оптимизации не обеспечивают равномерной сходимости, как это может делать алгоритм (4), то судить о качестве оптимизации по уменьшению целевого функционала нельзя. К сожалению, большинство публикуемых тестов ограничивается именно этой неудовлетворительной оценкой.

Таким образом, для оптимизации физических процессов можно рекомендовать алгоритм (4), демонстрирующий хорошую сходимость в пространстве управлений.

### Обозначения

$u$  – оптимизируемый параметр, входящий в уравнения процесса;  $\tau$  – пространственно-временная переменная;  $x$  – пространственная переменная;  $t$  – время;  $J$  – целевой функционал задачи оптимизации;  $p$  – направление спуска;  $b$  – параметр длины шага спуска;  $k$  – номер итерации;  $\nabla J$  – градиент целевого функционала (линейный функционал);  $C$ ,  $\rho$  и  $\lambda$  – теплоемкость, плотность и теплопроводность соответственно,  $T$  и  $T_*$  – температура и оптимальная температура процесса;  $q$  – поток тепла;  $f$  – сопряженная переменная (линейный функционал);  $\alpha$  – параметр регулирования направления минимизации;  $u^0$  и  $u_*$  – начальное приближение и оптимальное значение искомого параметра;  $u^1, u^{10}, u^{20}, u^{37}, u^{50}, u^{75}, u^k$  – члены итераций;  $\varphi$  – шаблонное приближение к минимуму;  $\Delta t$  – шаг конечно-разностной сетки;  $n$  – количество ячеек сетки;  $R^{n-1}$  – конечномерное евклидово пространство оптимизируемых параметров размерности  $n-1$ ; В – В-сплайн (Base spline). Индексы: 0 и 1 – левая и правая границы одномерного процесса;  $a$  и  $b$  – начало и конец времени процесса.

### Литература

1. **Егоров А. И.** Оптимальное управление тепловыми и диффузионными процессами. М., 1978.
2. **Алифанов О. М., Артюхин Е. А., Румянцев С. В.** Экстремальные методы решения некорректных задач и их приложения к обратным задачам теплообмена. М., 1988.
3. **Толстых В. К.** Прямой экстремальный подход для оптимизации систем с распределенными параметрами. Донецк, 1997.
4. **Черноузько Ф. Л., Баничук И. В.** Вариационные задачи механики и управления. М., 1973.
5. **Horpe R. H. W. and S. I. Petrova.** Applications of the Newton interior-point method for Maxwell's equations. Proc. 16th IMACS World Congress on Sc. Computat., Appl. Math. and Simulat. Ed. M. Deville and R. Owens, Lausanne-Switzerland, 2000. CD ROM ISBN 3-9522075-1-9.
6. **Nocedal J. and S. J Wright.** Numerical Optimization. N. Y., 1999.
7. **Kelly C. T.** Iterative Methods for Optimization. Philadelphia, 1999.